

Ce document a été mis en ligne par l'organisme FormaV®

Toute reproduction, représentation ou diffusion, même partielle, sans autorisation préalable, est strictement interdite.

Pour en savoir plus sur nos formations disponibles, veuillez visiter : <u>www.formav.co/explorer</u>

BREVET DE TECHNICIEN SUPERIEUR ENVIRONNEMENT NUCLEAIRE

U42 MODELISATION ET CHOIX TECHNIQUES EN ENVIRONNEMENT NUCLEAIRE

SESSION 2013

Durée : 4 heures Coefficient : 3

Matériel autorisé :

- Toutes les calculatrices de poche y compris les calculatrices programmables, alphanumériques ou à écran graphique à condition que leur fonctionnement soit autonome et qu'il ne soit pas fait usage d'imprimante (Circulaire n°99-186, 16/11/1999)

Documents à rendre avec la copie :

| - DOCUMENT REPONSE DR1 | page 24/25 |
|------------------------|------------|
| - DOCUMENT REPONSE DR2 | page 25/25 |

Dès que le sujet vous est remis, assurez-vous qu'il est complet. Le sujet se compose de 25 pages, numérotées de 1/25 à 25/25.

| BTS ENVIRONNEMENT NUCLEAIRE | | Session 2013 |
|--|---------|--------------|
| U42 MODELISATION ET CHOIX TECHNIQUES EN ENVIRONNEMENT NUCLEAIRE | ENE4JCT | Page 1 / 25 |

GENERATEUR VAPEUR ET COMPOSANTS DE CENTRALE

Constitution du sujet :

| • | Dos | sier presentation | Page 2 à 3 |
|---|-----|--|------------------|
| • | Dos | sier Sujet (mise en situation et questions à traiter | par le candidat) |
| | 0 | PARTIE A | Page 4 |
| | 0 | PARTIE B | Pages 4 à 7 |
| | 0 | PARTIE C | Pages 7 à 9 |
| | | | |

Dossier Technique Pages 10 à 23

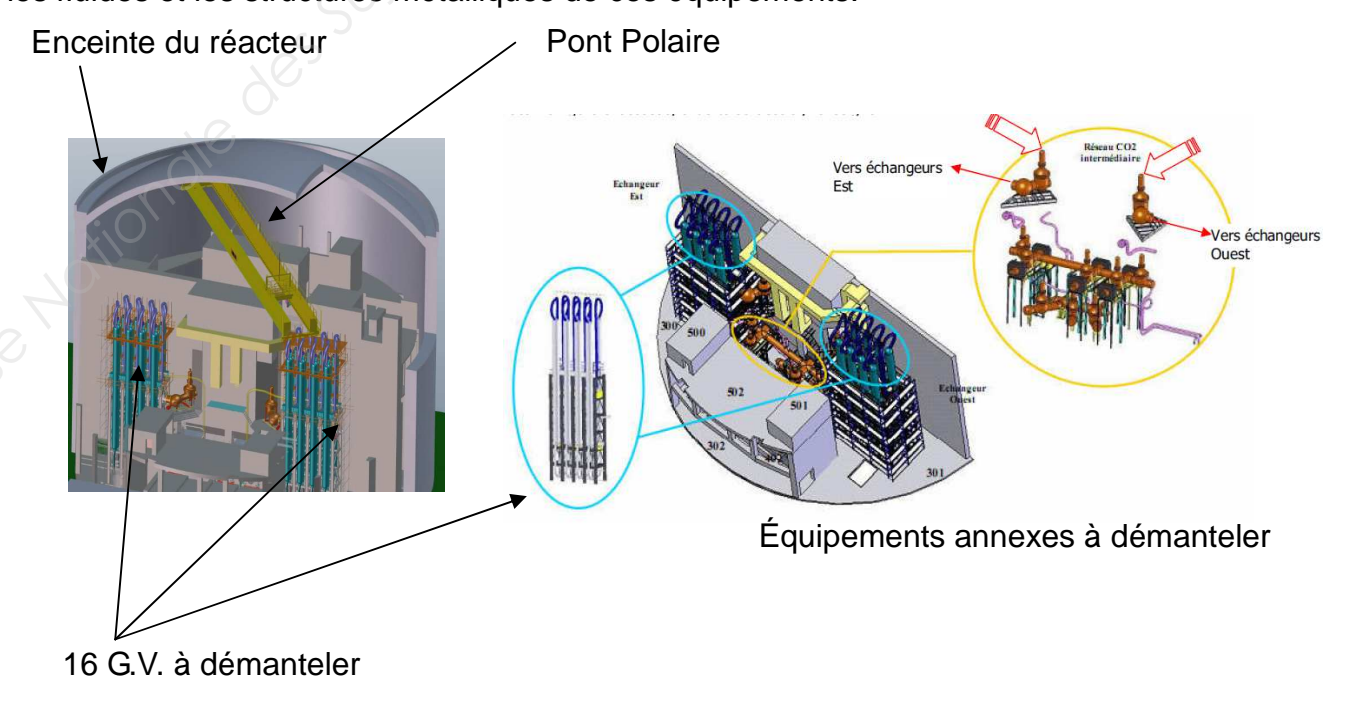
Documents Réponses
 Pages 24 à 25

Présentation

Un réacteur nucléaire à l'arrêt depuis plusieurs années doit être démantelé. Il est classé comme une Installation Nucléaire de Base (I.N.B).

Le dossier présenté concerne l'opération de dépose, de conditionnement et d'évacuation des Générateurs de Vapeur (G.V.).

Dans un bâtiment réacteur, il faut démanteler les 16 générateurs de vapeur des échangeurs CO2/eau (le CO2 est le fluide caloporteur du circuit primaire et le circuit eau est le fluide caloporteur du circuit secondaire), le réseau intermédiaire servant à véhiculer les fluides et les structures métalliques de ces équipements.



| BTS ENVIRONNEMENT NUCLEAIRE | | Session 2013 |
|--|---------|--------------|
| U42 MODELISATION ET CHOIX TECHNIQUES EN ENVIRONNEMENT NUCLEAIRE | ENE4JCT | Page 2 / 25 |

Les travaux sont à réaliser sur une centrale nucléaire dont la production d'électricité est achevée depuis plusieurs années, et doivent néanmoins respecter les exigences de sûreté, de sécurité, ainsi que les contraintes d'exploitation qui en résultent.

Les travaux de démantèlement des équipements présents dans le bâtiment réacteur ne doivent à aucun moment mettre en cause la sécurité des personnes, ni l'intégrité des matériels en exploitation avoisinants.

Le démantèlement engendre la démolition de matériels et équipements. Les déchets générés sont de type Très Faiblement Actif (TFA), Faiblement Actif (FA) ou Moyennement Actifs (MA).

Données d'entrée (état initial)

La totalité des travaux est à réaliser dans le bâtiment réacteur. Ce bâtiment, composé de 9 niveaux, est cylindrique et aux dimensions suivantes : 46 m de diamètre et 56 m de haut. Les locaux concernés par les travaux sont situés en zone nord du bâtiment réacteur.

Le bâtiment réacteur est une zone contrôlée du point de vue radioprotection.

Les matériels du circuit CO2 sont considérés comme des déchets FA, MA ou TFA en fonction de leur niveau d'activité et/ou de contamination. Les autres déchets (circuits vapeur, charpente, ...) considérés comme déchets TFA.

La dépose des équipements engendre environ 1 500 tonnes de déchets métalliques dont approximativement :

- 600 tonnes pour les échangeurs,
- 200 tonnes d'équipements annexes,
- 700 tonnes d'aciers noir et galvanisé (charpentes, circuits CO2)

Problématique générale

Les opérations de démantèlement nécessitent des manutentions importantes de charges lourdes (Masse d'un G.V = 37 Tonnes).

Ces manutentions seront réalisées à l'aide des équipements présents dans le bâtiment réacteur (pont polaire, treuil, etc...).

Les équipements datent de plus de 40 ans et les opérations de démantèlement n'ont pas été forcement prises en compte lors de leur conception.

L'étude consistera à vérifier s'ils sont adaptés au cahier des charges du démantèlement envisagé et à la réglementation en vigueur en 2013 .Si nécessaire des modifications ou des choix de matériels nouveaux seront proposés.

| BTS ENVIRONNEMENT NUCLEAIRE | | Session 2013 |
|--|---------|--------------|
| U42 MODELISATION ET CHOIX TECHNIQUES EN ENVIRONNEMENT NUCLEAIRE | ENE4JCT | Page 3 / 25 |

Travail demandé

Partie A : analyse et compréhension

L'objectif de cette partie est de mettre en évidence les fonctions relatives au système et à son environnement et de les situer.

L'analyse fonctionnelle de l'opération de démantèlement est donnée sur les dossiers techniques DT1 à DT2.

- A.1) Indiquer la fonction globale de l'opération étudiée.
- A.2) Citer les sous fonctions associées à cette fonction globale.
- A.3) Identifier les solutions technologiques utilisées afin d'assurer la fonction "assurer le déplacement vertical".
- A.4) Réalisation de la chaîne d'énergie du treuil de levage 6T.

On donne sur le document réponse DR1 la chaîne d'énergie partielle du treuil de levage 6T. Compléter cette chaîne d'énergie en suivant les indications suivantes (voir DT2 et DT3) :

- Indiquer le composant assurant la fonction "transformer l'énergie" et relever dans le dossier technique sa puissance P, sa fréquence de rotation N_m et son rendement η_1 à charge maximale.
- Indiquer la valeur du rapport de transmission r_4 du réducteur MERGER ainsi que son rendement η_4 .
- Déterminer et indiquer la valeur du rapport de transmission r₅ du réducteur secondaire ainsi que son rendement η₅.
- Indiquer la valeur du diamètre du tambour.

Partie B : Etude du système de levage 6T

Contexte de l'étude :

Le levage des éléments est réalisé par l'intermédiaire des treuils 6T (capacité de levage de 6 tonnes) et 45T (capacité de levage de 45 tonnes).

Pour des raisons cinématiques (déplacement et encombrement des éléments démantelés), le treuil 6T sera amené à soulever des charges supérieures à sa charge maximale autorisée.

L'élément le plus défavorable est la Sphère montée sur son support qui présente une masse maximale de 7,6 tonnes.

| BTS ENVIRONNEMENT NUCLEAIRE | | Session 2013 |
|--|---------|--------------|
| U42 MODELISATION ET CHOIX TECHNIQUES EN ENVIRONNEMENT NUCLEAIRE | ENE4JCT | Page 4 / 25 |

Objectif de l'étude :

Le treuil 6T peut-il être homologué au démantèlement de charge supérieure à sa capacité initiale ?

B.1- Validation mécanique de la motorisation

L'objectif de cette partie est de déterminer la puissance nécessaire au moteur dans les nouvelles conditions de fonctionnement afin de valider celui-ci.

On isole l'ensemble charge (sphère + support) + crochet de levage + câble (voir schéma ci-contre et document technique DT3)

Données et hypothèses :

- L'étude s'effectuera lors de la phase de levage ;
- La charge atteint la vitesse linéaire de 0,6 m·min⁻¹ en 2 s. Cette vitesse correspond à la vitesse maximale de translation verticale de la charge ;
- T_1 , T_2 , T_3 et T_4 représentent l'action de traction sur les éléments de câble lors de la levée. Ces actions seront supposées de même norme $T_1 = T_2 = T_3 = T_4 = T$;
- La masse de la charge à soulever est de 7,6 tonnes ;
- Afin d'homologuer le treuil 6T, il faudra majorer la charge à soulever par un coefficient de sécurité de 1,5 ;
- La masse des autres pièces autre que la charge est négligée ;
- L'accélération de la pesanteur g = 9,81 m·s⁻²;
- Les frottements sont négligés ;
- Diamètre du tambour : D = 200 mm ;
- Diamètre du câble : d = 12,6 mm ;
- Lors de l'enroulement du câble, il n'y a pas chevauchement du câble dans le tambour.
- B.1.1) Déterminer la valeur de l'accélération lors de la mise en route du système de levage.
- B.1.2) On isole l'ensemble précisé ci-dessus.

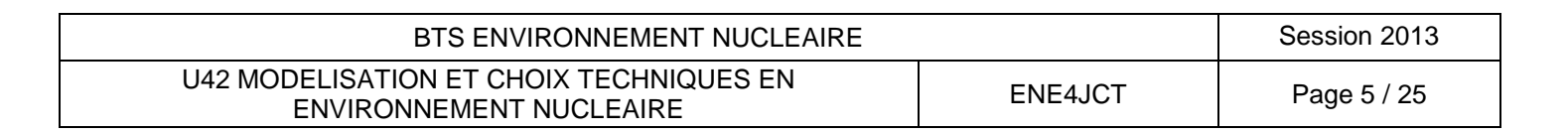
Appliquer le théorème de la résultante dynamique suivant l'axe \vec{y} et en déduire force de traction T sur le câble.

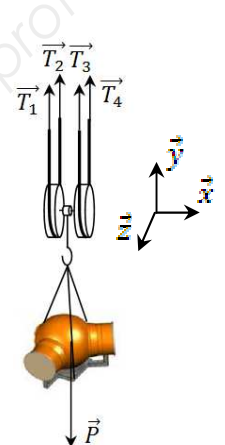
B.1.3) Le système de mouflage (système à poulie) est présenté sur le dossier technique DT3. Dans cette configuration, pour avoir une vitesse de montée de la charge de 0,6 m·min⁻¹, la vitesse verticale de montée du câble devra être deux fois supérieure à celle de la charge.

Déterminer la valeur de la vitesse linéaire de translation du câble.

B.1.4) Quel que soit les valeurs trouvées précédemment, on prendra 28000 N pour la force de traction du câble et 0,02 m·s⁻¹ pour la vitesse linéaire de translation du câble.

Sachant qu'il y a double enroulement au niveau du tambour, déterminer la valeur de la puissance mécanique en sortie du tambour.





- B.1.5) A l'aide des caractéristiques relevées sur la chaîne d'énergie (voir question A.4), déterminer la puissance mécanique en sortie du moteur électrique actionnant le treuil 6T.
- B.1.6) La vitesse de translation verticale du câble étant de 0,02 m·s⁻¹, déterminer la vitesse de rotation du tambour.
- B.1.7) A l'aide des caractéristiques relevées sur la chaîne d'énergie (voir question A.4), déterminer la vitesse de rotation en tr·min⁻¹ du moteur en fonction de celle du tambour.
- B.1.8) Conclusion de la partie B.1:

Comparer la puissance et la vitesse de rotation trouvées aux questions B.1.5 et B.1.7 à celles relevées pour le moteur à la question A.4.

Conclure quant à la validation mécanique du moteur actionnant le treuil 6T.

B.2- Analyse matérielle et temporelle du système de levage

Objectif de l'étude :

Valider les solutions technologiques permettant la commande et la protection du treuil de 6T.

Caractéristiques du moteur de levage :

Le réseau est triphasé 400V 50Hz, 3P+N+T.

Le moteur est de type asynchrone triphasé de puissance nominale utile : 7.5 kW, $U_N = 400V$, Id/In = 6.7, $\cos \varphi = 0.82$ et $\eta = 87\%$.

Le circuit de commande est alimenté par un transformateur en 24V~ à partir du 400V~.

- B.2.1) Donner les effets induits, le moyen de protection et la référence de l'appareil pour une surcharge et un court-circuit en complétant le tableau sur le document réponse DR1.Voir le schéma électrique fourni sur le document réponse DR2.
- B.2.2) Compléter le chronogramme d'une phase de fonctionnement en descente puis en montée sur le document réponse DR1.Le schéma électrique de fonctionnement du moteur de levage est donné sur le document réponse DR2.

| BP | DÉSIGNATION |
|----|--|
| S1 | Bouton de commande ARRET |
| S2 | Bouton de commande descente de la charge |
| S3 | Bouton de commande montée de la charge |

B.2.3) Pour des raisons de sécurité, on décide de rajouter une signalisation pour la montée et la descente de la charge.

| VOYANT | DESIGNATION |
|--------|--|
| L1 | Mise sous tension générale du moteur de levage |
| L2 | Montée de la charge |
| L3 | Défaut du relais thermique |
| L4 | Descente de la charge |

Compléter le document réponse DR2, permettant de satisfaire le fonctionnement décrit dans le tableau ci-dessus.

| BTS ENVIRONNEMENT NUCLEAIRE | | Session 2013 |
|---|---------|--------------|
| U42 MODELISATION ET CHOIX TECHNIQUES EN ENVIRONNEMENT NUCLEAIRE | ENE4JCT | Page 6 / 25 |

- B.2.4) Les contacteurs, de catégorie AC3, permettant la montée et la descente ont la référence LC1 D25. Sachant qu'ils sont manœuvrés en moyenne 1 fois par heure, 8 heures par jour, 5 jours par semaine, 50 semaines par an. En utilisant le dossier technique DT4, déterminer au bout de combien d'années faudra-t-il les remplacer?
- B.2.5) Le moteur électrique de levage est protégé par un relais thermique LRD 21. Celui-ci est réglé sur 16 A. Il ouvre le circuit de puissance au bout de 10 s dans le cas d'une coupure à froid.
 - En utilisant le dossier technique DT5, par quelle valeur de courant le relais thermique est-il traversé à ce moment-là ?
- B.2.6) Si on réarme immédiatement le relais thermique, au bout de combien de temps vat-il s'ouvrir de nouveau ?
- B.2.7) Conclusion de la partie B.2 :
 Conclure quant à la validation des solutions technologiques permettant la commande et la protection du treuil de 6T.

Partie C : Adapter la commande d'un pont polaire existant au démantèlement des groupes vapeurs (GV) d'une centrale nucléaire.

Contexte:

Les groupes vapeurs (GV) de la centrale seront désolidarisés des ½ échangeurs et déposés au-dessus de l'atelier vertical 301 pour être découpés en deux parties. Le pont polaire sera utilisé pour déplacer les GV.

Le pilotage actuel du pont polaire est effectué par un opérateur à partir de commandes manuelles situées dans une cabine ou à partir d'une boîte à boutons située au sol.

Une analyse des mouvements de rotation du pont polaire et de translation du chariot a permis d'identifier que les déplacements des GV s'effectuent au-dessus de zones de travail fréquentées par des personnels au sol et au voisinage de bâtiments sensibles qui stockent de la matière radioactive.

La commission de sûreté de la centrale prévoit l'éventualité d'un décrochage d'une pièce en mouvement pendant la phase de démantèlement et impose à l'exploitant de limiter les conséquences de ces risques, ce qui n'est pas le cas avec le mode de pilotage actuel.

Aussi lorsque les GV sont soulevés, certaines pièces peuvent être mal découpées ou accrochées accidentellement à la tuyauterie. Ces incidents entraînent une surcharge du système de levage capable de rompre les câbles ou les élingues.

Suite aux remarques ci-dessus, un cahier des charges a été défini dans le but de sécuriser les déplacements du pont polaire en changeant le mode de pilotage actuel et en prévoyant une signalisation des surcharges éventuelles du système de levage 45 tonnes. Voir le dossier technique DT6.

| BTS ENVIRONNEMENT NUCLEAIRE | | Session 2013 |
|---|---------|--------------|
| U42 MODELISATION ET CHOIX TECHNIQUES EN ENVIRONNEMENT NUCLEAIRE | ENE4JCT | Page 7 / 25 |

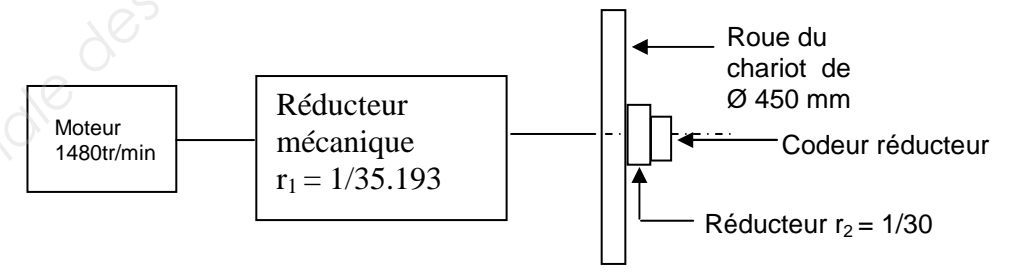
Travail demandé:

Le pilotage actuel des mouvements du pont polaire est inadapté aux déplacements des GV vers l'atelier 301.

L'objectif de l'étude sera de proposer et de valider des solutions techniques et fonctionnelles qui respecteront les critères définis dans le cahier des charges.

- C1) En vous aidant du dossier technique DT7, proposer une chaîne fonctionnelle simplifiée qui permettra d'appréhender le contrôle automatique du pont polaire.
- C2) En vous aidant des dossiers techniques DT7 et DT13, justifier l'intérêt d'un choix d'une unité de dialogue XBTGT2330.
- C3) En vous aidant des dossiers techniques DT8 et DT12, valider le choix des cartes d'entrées sorties logiques BMXDRA1605 et BMXDDI 3202K.
- C4) Les vitesses des mouvements du pont polaire, du chariot et du treuil sont contrôlées par des variateurs de vitesse existants (non représenté sur le DR2). Les variateurs sont pilotés à l'aide de liaisons filaires blindées parcourues par un courant électrique 4-20 mA.
- C4.1) Justifier la solution de la liaison filaire en courant 4-20 mA.
- C4.2) En vous aidant du dossier technique DT12, choisissez une carte de sorties analogiques qui permettra de piloter les 4 variateurs de vitesse.
- C5) Une analyse approfondie des mouvements du pont polaire impose des capteurs de position numérique (codeurs) pour déterminer les positions angulaire et linéaire du pont polaire et du chariot.

Le capteur numérique référencé **XCC2912PS81SGN** est monté sur un réducteur mécanique de rapport de transmission $r_2 = 1/30$. Voir la chaîne cinématique ci-dessous : La précision du capteur doit être $\leq \pm 10$ mm pour une course maximale du chariot de 41 m.



En vous aidant du dossier technique DT14, valider le choix du capteur référencé **XCC2912PS81SGN** en vérifiant la précision du capteur.

| BTS ENVIRONNEMENT NUCLEAIRE | | Session 2013 |
|---|---------|--------------|
| U42 MODELISATION ET CHOIX TECHNIQUES EN ENVIRONNEMENT NUCLEAIRE | ENE4JCT | Page 8 / 25 |

C6) La signalisation d'une alarme surcharge du système de levage 45T est réalisée à partir d'une logique programmée implantée dans la mémoire d'un automate programmable industriel (API).

La masse soulevée par le treuil de 45T est mesurée à partir d'un couple mètre monté sur le système de levage.

Lorsque la masse soulevée est supérieure à 10% de la charge utile (45T), l'opérateur du pont polaire est informé par une alarme sonore KL.

Pour éviter de signaler les surcharges transitoires, le dysfonctionnement doit être présent pendant un temps de 1s avant d'être signalé. L'opérateur peut arrêter l'alarme sonore à partir d'un bouton désigné bp acq lorsque le défaut a disparu.

La mesure de la masse est stockée dans une variable désignée WT45T, si elle dépasse la valeur numérique de 4950 alors un klaxon est activé.

En vous aidant du dossier technique DT11, proposer un logigramme à programmer qui permettra de réaliser l'alarme sonore KL.

Note: Vous pouvez utiliser des fonctions logiques de base (Non, ET, OU, etc...).

C7) La méthode adoptée pour mettre en œuvre la consigne de position du chariot Wc sur l'axe \vec{v} est expliquée sur les dossiers techniques DT9 et DT10.

C7.1) En vous aidant de la méthode de calcul donnée sur le dossier technique DT9, compléter le tableau ci-dessous sur le document réponse DR2.

Note: vos calculs seront effectués à partir de positions angulaires statiques du pont polaire sans compensation antérieure de la position par le chariot. En supposant Xc = Xc gv5 = 15529,14 mm.

| Position angulaire θ du pont polaire | ΔX (mm) | ΔXc (mm) | Wc (mm) | Wc.cosθ (mm) |
|--------------------------------------|---------|----------|----------|-----------------|
| 15° | 60 | 0 | 15529,14 | 15000 |
| 20° | | | | |
| 25° | | | | |
| 30° | | | | |
| 35° | 2279,27 | 2782,47 | 18311,6 | 15000 |

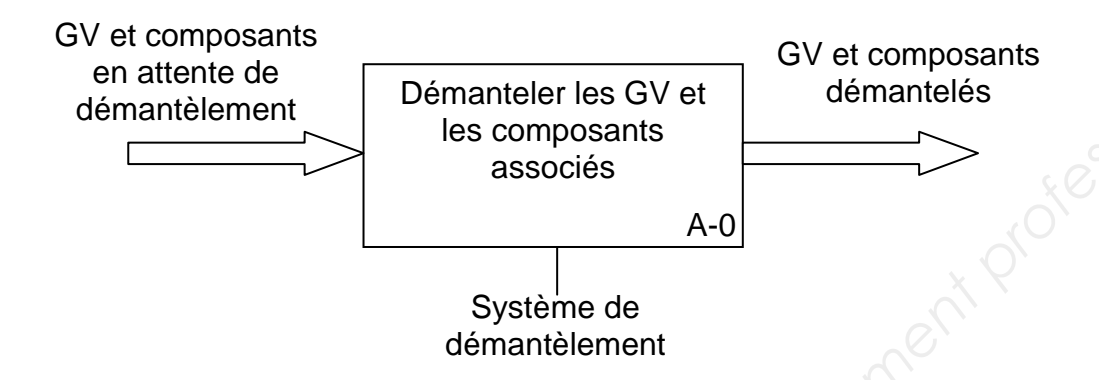
C.7.2) Nous supposerons que l'erreur de position de la boucle de régulation du chariot est nulle, peut-on valider la méthode de calcul de Wc?

Note : Si l'erreur de position est nulle, cela suppose que la position mesurée du chariot (Xc) est égale à la consigne calculée (Wc) : Xc = Wc (Voir DT10).

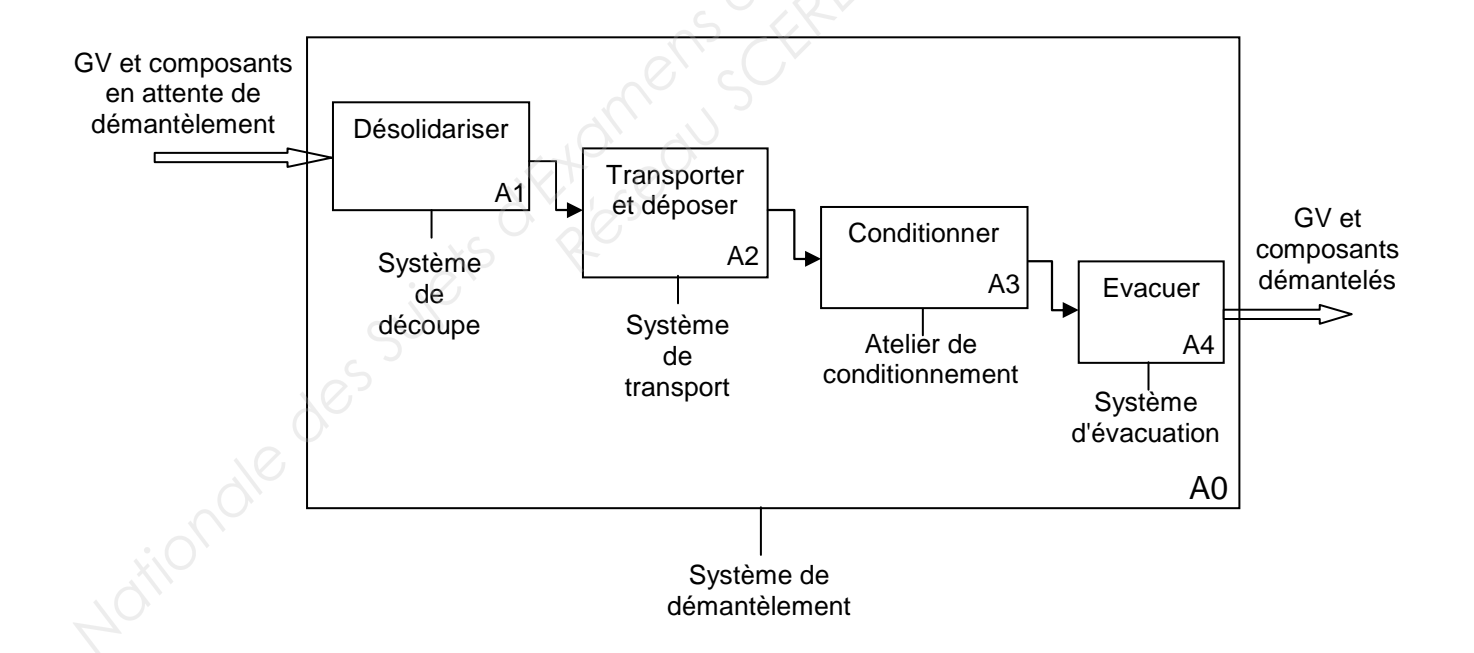
| BTS ENVIRONNEMENT NUCLEAIRE | | Session 2013 |
|---|---------|--------------|
| U42 MODELISATION ET CHOIX TECHNIQUES EN ENVIRONNEMENT NUCLEAIRE | ENE4JCT | Page 9 / 25 |

DOSSIER TECHNIQUE DT1: Analyse fonctionnelle

Analyse globale de l'étude :



Analyse détaillé de la fonction A-0 :



| BTS ENVIRONNEMENT NUCLEAIRE | | Session 2013 |
|--|---------|--------------|
| U42 MODELISATION ET CHOIX TECHNIQUES EN ENVIRONNEMENT NUCLEAIRE | ENE4JCT | Page 10 / 25 |

DOSSIER TECHNIQUE DT2: Analyse fonctionnelle

Détail de la fonction A2 : Transporter et déposer

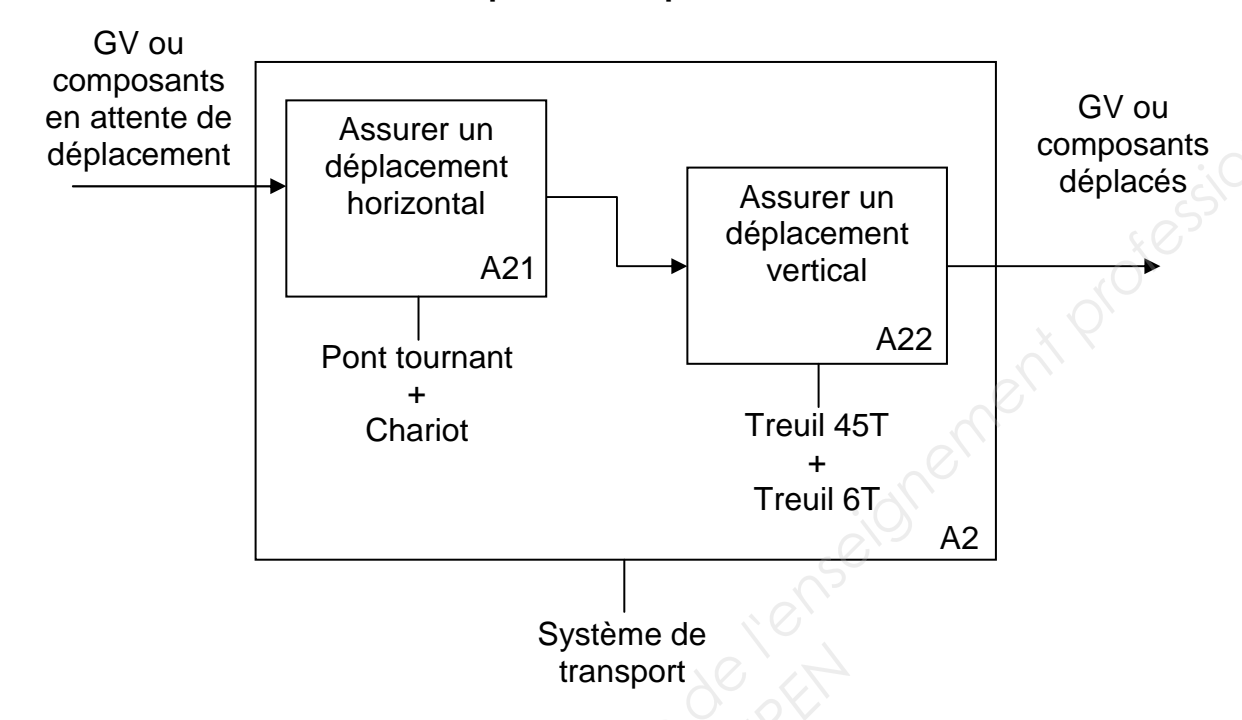
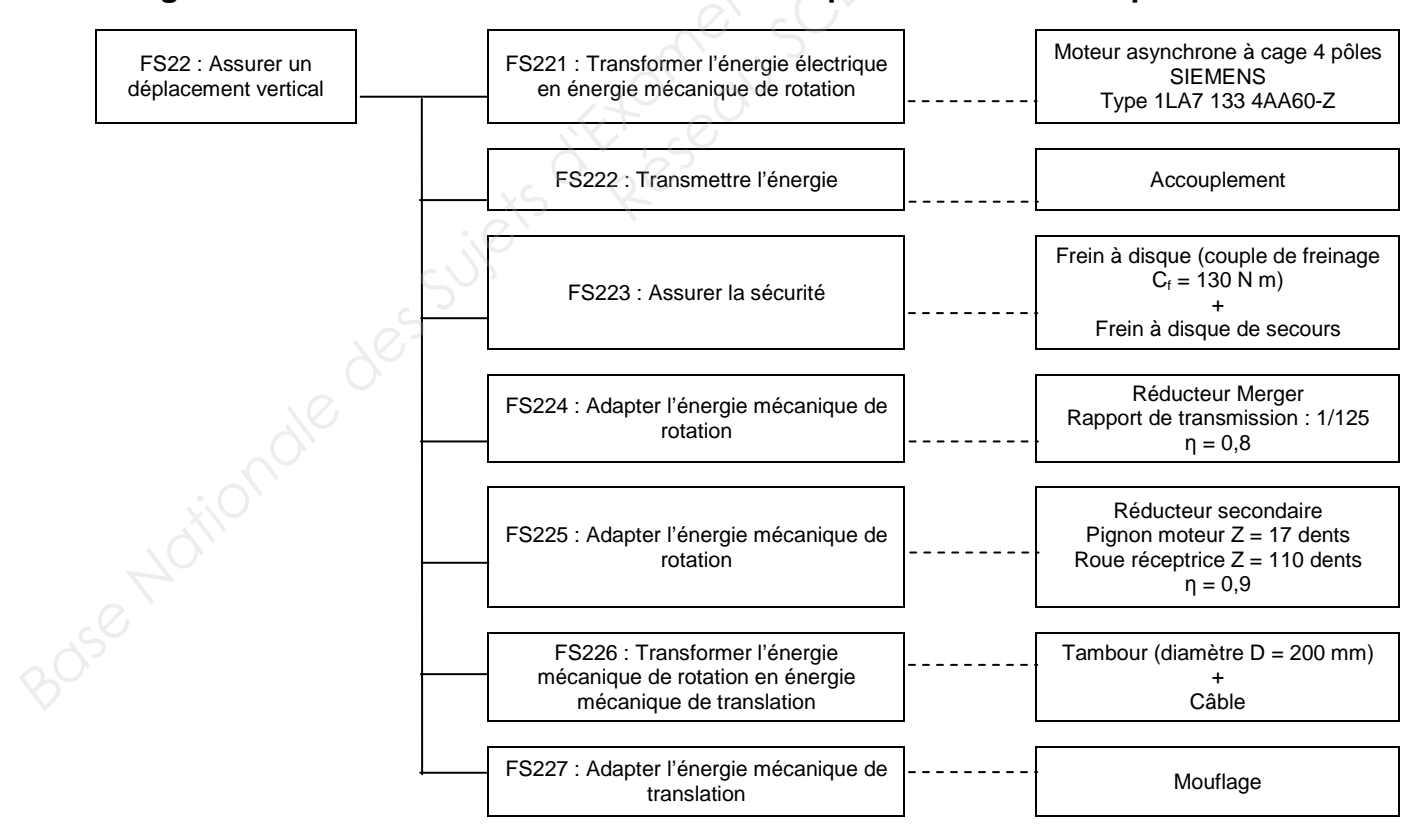
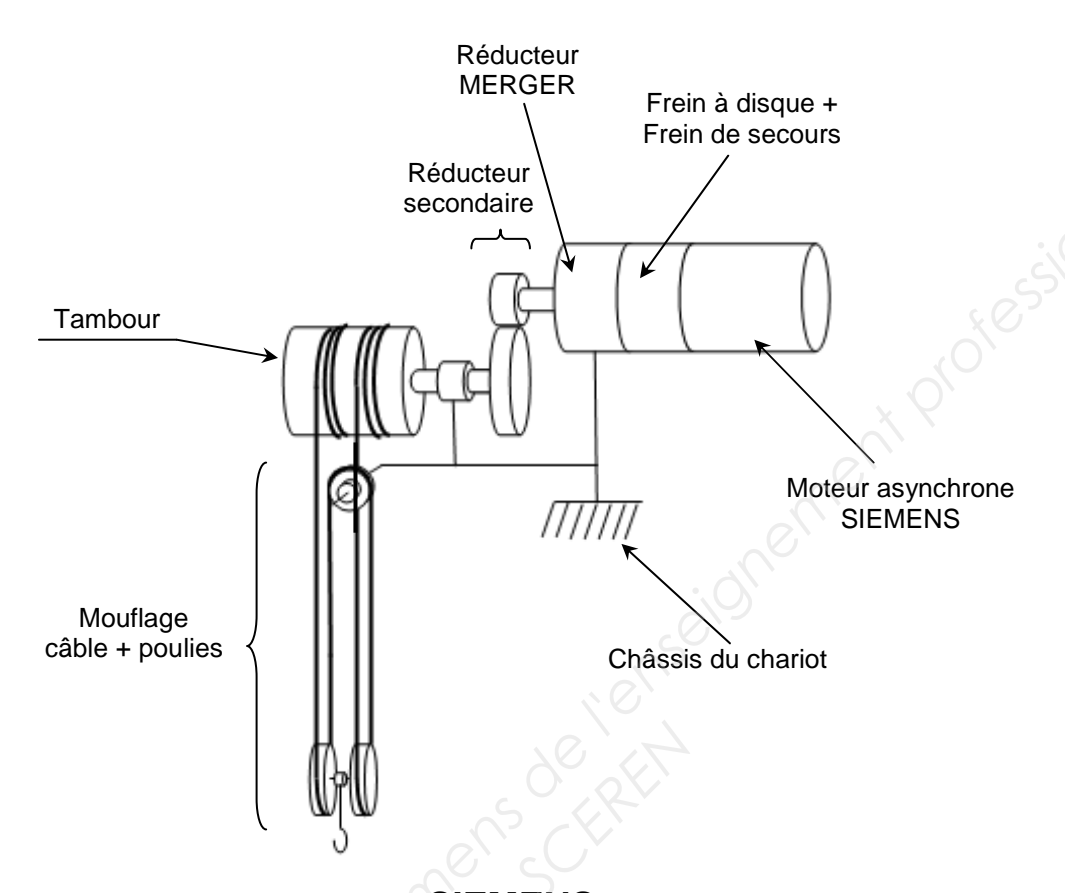


Diagramme FAST de la fonction "assurer un déplacement vertical" par le treuil 6T



| BTS ENVIRONNEMENT NUCLEAIRE | | Session 2013 |
|---|---------|--------------|
| U42 MODELISATION ET CHOIX TECHNIQUES EN ENVIRONNEMENT NUCLEAIRE | ENE4JCT | Page 11 / 25 |

DOSSIER TECHNIQUE DT3: Modélisation du treuil 6T



Document constructeur moteur SIEMENS

Moteurs à cage 1LA · Carcasse en aluminium · Exécution standard

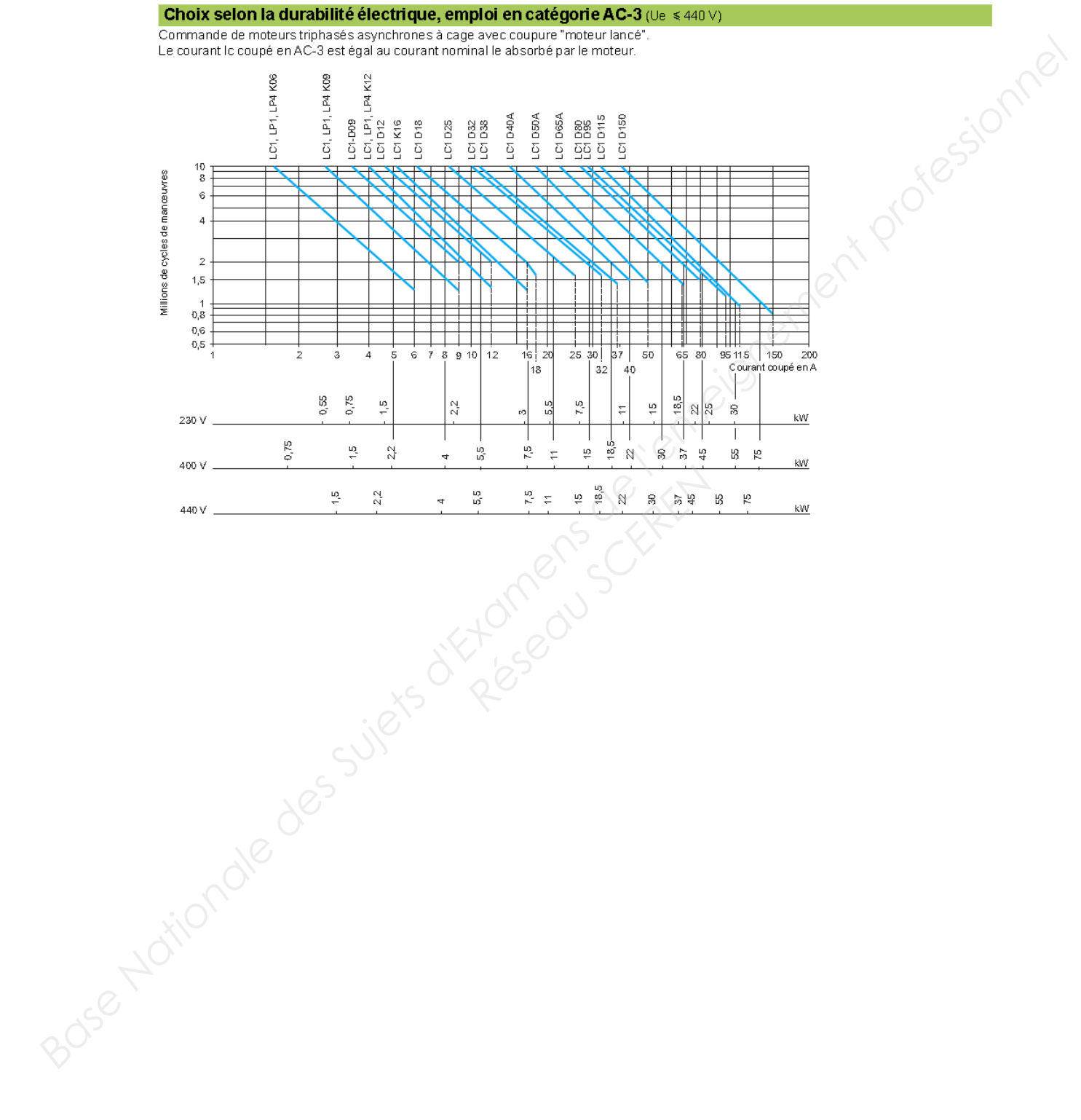
Tableaux de sélection et de commande Hau-Référence Classe Valeurs données pour la puissance assignée Couple Courant Couple Clas- Couple Poids: se de d'inettie couple J de rendesance teur de dede d∉ de décro-Extension de la Vitesse Rendement Fac-Cour Couple Forme daxe marrage chage 835 référence pour tenrant as assigné marrage IMB3 assin a teur gnée ment sion et forme de de signé à En démarrage direct, rapporté au construction voir puis-400 V charge couple courant couple assigné assigné tableau ci-dessous sance assigné env CO5 9 (err) min-1 % kW 96 kg m² kg Moteurs à économie d'énergie selon CEMEP «Rendement augmenté» eff2, indice de protection IPSS, classe de température F (EFF 1500 min-1, 4 pôles, 50 Hz 56M 1LA7 050-4AB ... 56.0 0.06 1350 55:0 0277 0.20 0.42 19 2.6 1.9 13 0.00027 3 1LA7 053-4AB . . 0,29 0.64 2,6 1,9 0,00027 0,09 1350 58,0 57.0 0.77 1.9 13 1LA7 060-4AB . . 1LA7 063-4AB . . 0,12 63 M 1350 54,0 0,75 60,0 0,77 0,42 0,85 1.9 2,8 2,0 13 0,00029 4 0.18 1350 13 0.00037 1LA7 070-4AB 1LA7 073-4AB 0,78 0,77 1,8 1,9 3,0 0,25 1350 60,0 60,0 1,9 2,1 0,00052 0,37 1370 13 0.00077 6 0,55 80 M 1LA7 080-4AA ... 1LA7 083-4AA ... 1396 67,0 67,0 0,82 1,44 3,8 5,1 2,2 2,3 3,9 4,2 2,2 2,3 16 0,0014 9 0,75 0,61 1,88 0,0017 1396 1LA7 090-4AA . . 1LA7 096-4AA . . 7.4 2,3 2,4 2 4,6 5,3 90.5 1415 77,0 79,0 0.81 2,55 0,0024 1,1 77.0 16 13 3,40 0,0033 1420 1LA7 106-4AA ... 15 2.5 0,0047 21 22 1420 82.0 82.5 0.82 5.6 2.8 16 100 L 2 4.70 2 1LA7 107-4AA . 1420 0.82 6,40 20 5.6 3,0 16 0,0055 24 4 112 M 1LA7 113-4AA 2 1440 85.5 0.83 8,20 27 2,7 6,0 3.0 16 0,012 31 1LA7 130-4AA ... 1LA7 133-4AA ... 11,4 2,5 6,3 1325 1455 86,0 0.81 36 3,1 16 0,018 41 86.0 2 1455 0,82 49 49 160M 1LA7 163-4AA ... 1460 88,5 89,0 0,84 21,5 72 22 6,2 2,7 16 0,043 73 160 L 1LA7 166-4AA ... 1460 0,84 98 0,055 90,0 90,2 2,6 6,5 3,0 16 85 28,5

| BTS ENVIRONNEMENT NUCLEAIRE | | Session 2013 |
|---|---------|--------------|
| U42 MODELISATION ET CHOIX TECHNIQUES EN ENVIRONNEMENT NUCLEAIRE | ENE4JCT | Page 12 / 25 |

DOSSIER TECHNIQUE DT4: DURABILITE ELECTRIQUE CONTACTEUR AC-3

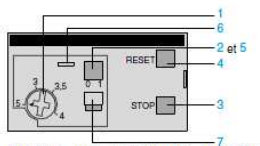
Choix selon la durabilité électrique, emploi en catégorie AC-3 (Ue ≤ 440 V)

Commande de moteurs triphasés asynchrones à cage avec coupure "moteur lancé" Le courant lc coupé en AC-3 est égal au courant nominal le absorbé par le moteur.

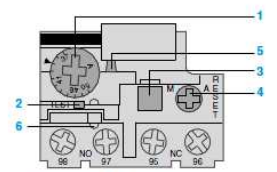


| BTS ENVIRONNEMENT NUCLEAIRE | | Session 2013 |
|---|---------|--------------|
| U42 MODELISATION ET CHOIX TECHNIQUES EN ENVIRONNEMENT NUCLEAIRE | ENE4JCT | Page 13 / 25 |

DOSSIER TECHNIQUE DT5: RELAIS THERMIQUE LRD



LRD01...35 et LRD313...LRD365



LRD3322...4369, LR2D

- 1 Bouton de réglage l'
 2 Bouton Test
 Laction sur le bouton Test permet :
 le contrôle du cáblage du circuit de commande
 la simulation du déclenchement du relais (action sur les 2 contacts "0" et r"F").

 3 Bouton Stop, Il agit sur le contact "0" et est sans effet sur le contact "F" 4 Bouton de réarmement
 5 Visualisation du déclenchement
 6 Verrouillage par plombage du capot
 7 Sélecteur de choix entre réarmement manuel et automatique. Les relais LRID01 à 35 sont livrés avec sélecteur en position manuelle protégé par un opercule. Le passage en position automatique se fait par une action volontaire.

Relais thermiques LRD ▶24516◀

Les relais tripolaires de protection thermique TeSys D sont destinés à la protection des circuits et des moteurs alternatifs contre les surcharges, les coupures de phases, les démarrages trop longs et les calages prolongés du moteur.

Raccordement

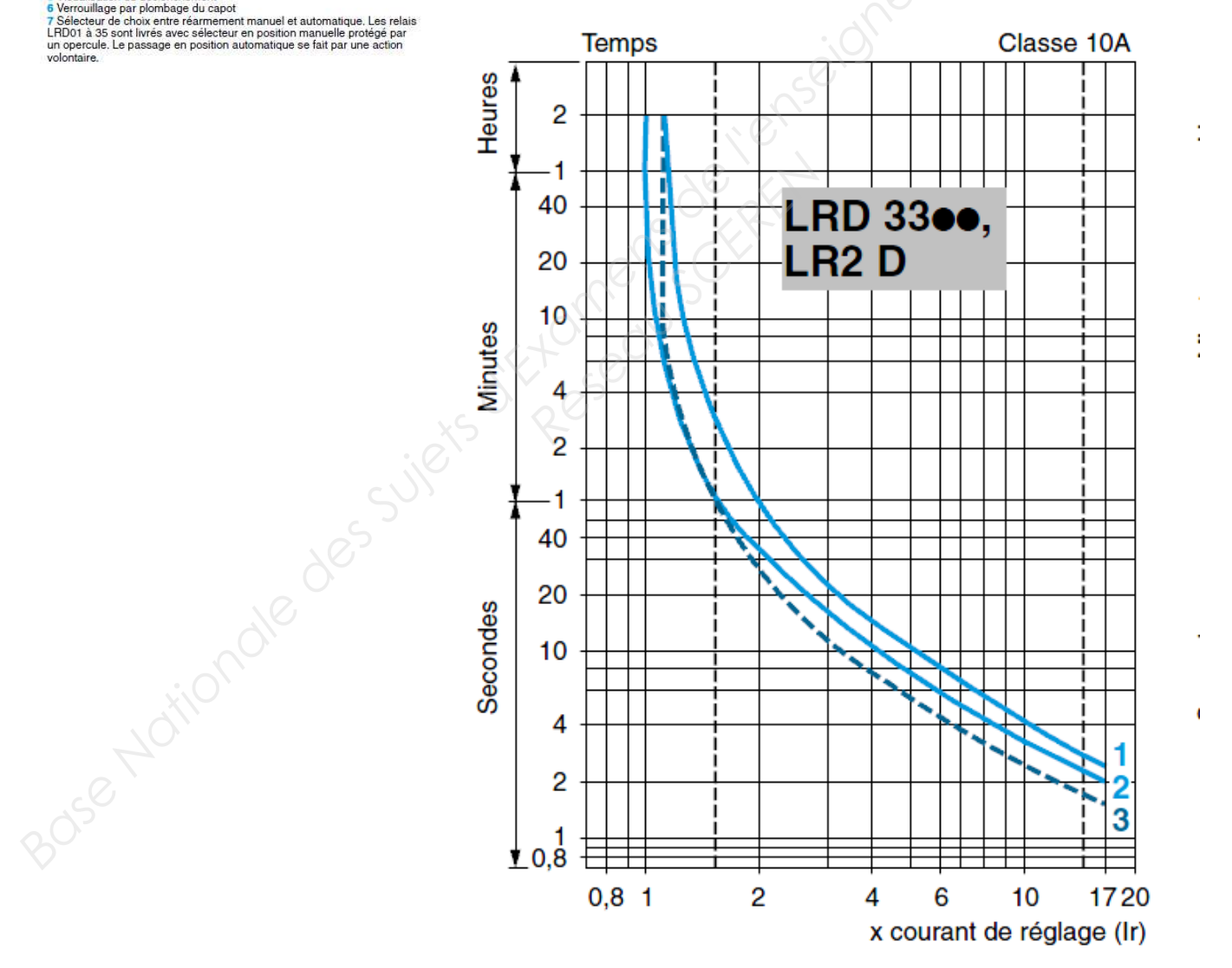
- LRD01 à LRD35 et LRD3322 à 4369, LR2D : vis-étriers ou cosses fermées
- LRD313 à LRD365 : vis BTR à 6 pans creux (1) ou cosses fermées.

Caractéristiques

| conformité aux normes | IEC/EN 60947-4-1, IEC/EN 60947-5-1, UL 508, CSA C22.2 n° 14, Directive ATEX 94/9/EC (2) (3) |
|-----------------------------|--|
| certifications des produits | UL, CSA, CCC (3), GL, DNV, RINA, BV, LROS (3), |
| | ATEX INERIS (2) (3) |

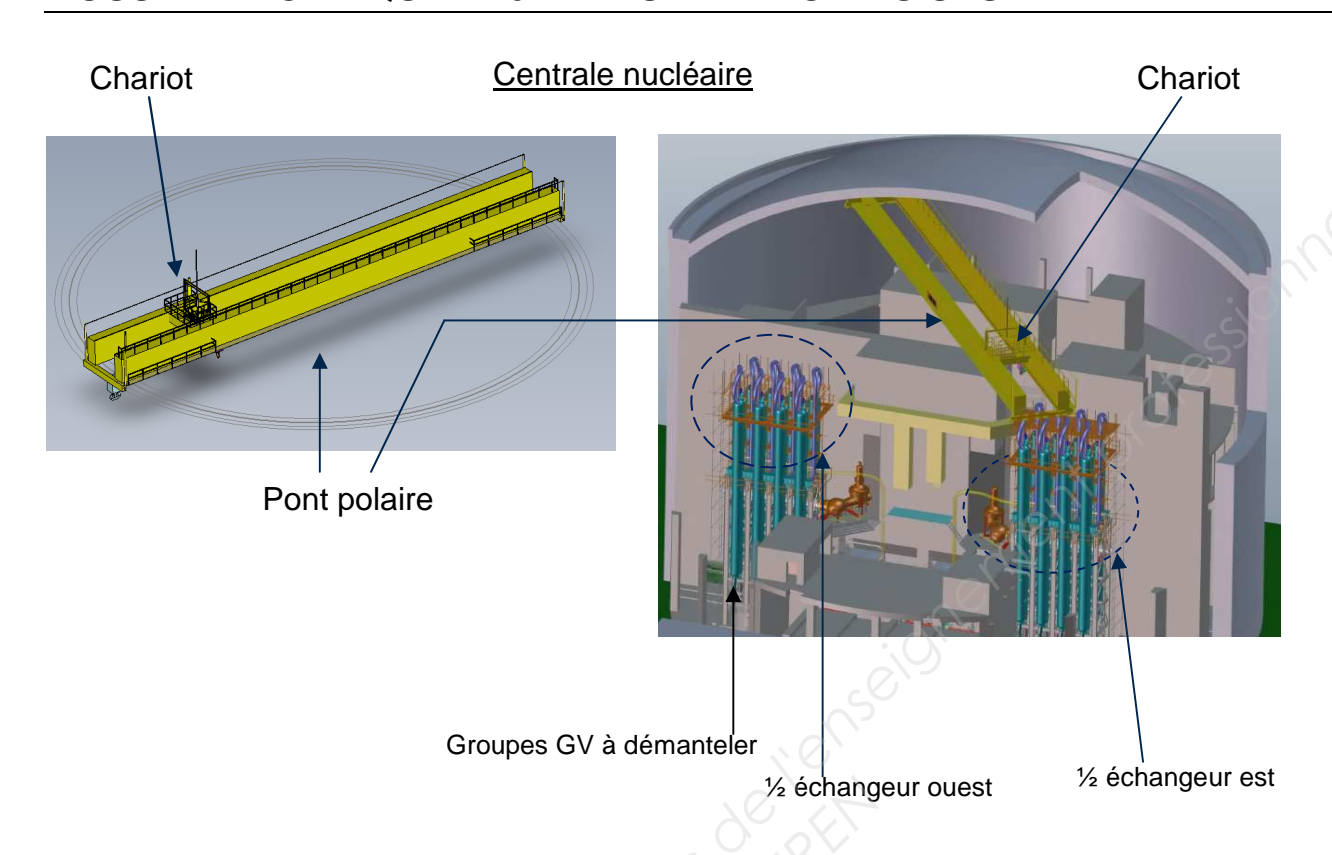
Courbes de déclenchement

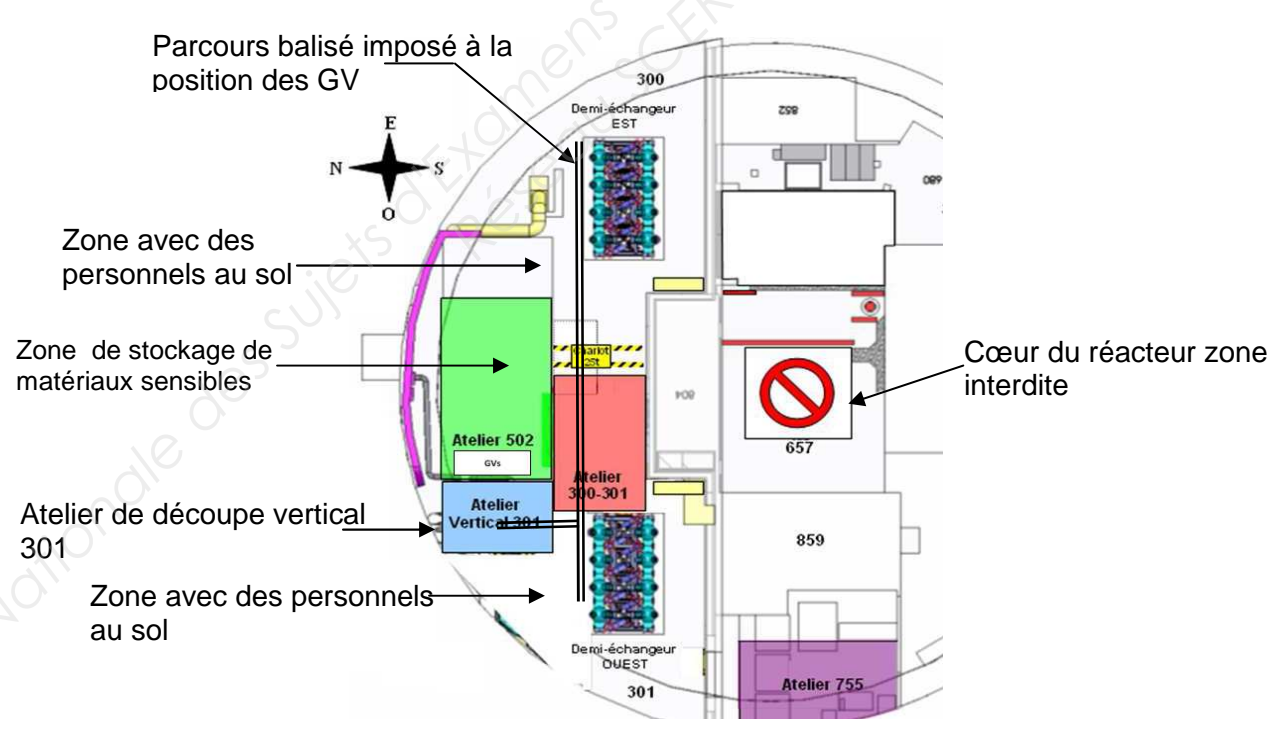
Temps de fonctionnement moyen en fonction des multiples du courant de réglage.



- 1 Fonctionnement équilibré, 3 phases, sans passage préalable du courant (à froid).
 2 Fonctionnement sur les 2 phases, sans passage préalable du courant (à froid).
- 3 Fonctionnement équilibré 3 phases, après passage prolongé du courant de réglage (à chaud).
- BTS ENVIRONNEMENT NUCLEAIRE Session 2013 U42 MODELISATION ET CHOIX TECHNIQUES EN **ENE4JCT** Page 14 / 25 **ENVIRONNEMENT NUCLEAIRE**

DOSSIER TECHNIQUE DT6: PRESENTATION DU SYSTEME





| BTS ENVIRONNEMENT NUCLEAIRE | | Session 2013 |
|--|---------|--------------|
| U42 MODELISATION ET CHOIX TECHNIQUES EN ENVIRONNEMENT NUCLEAIRE | ENE4JCT | Page 15 / 25 |

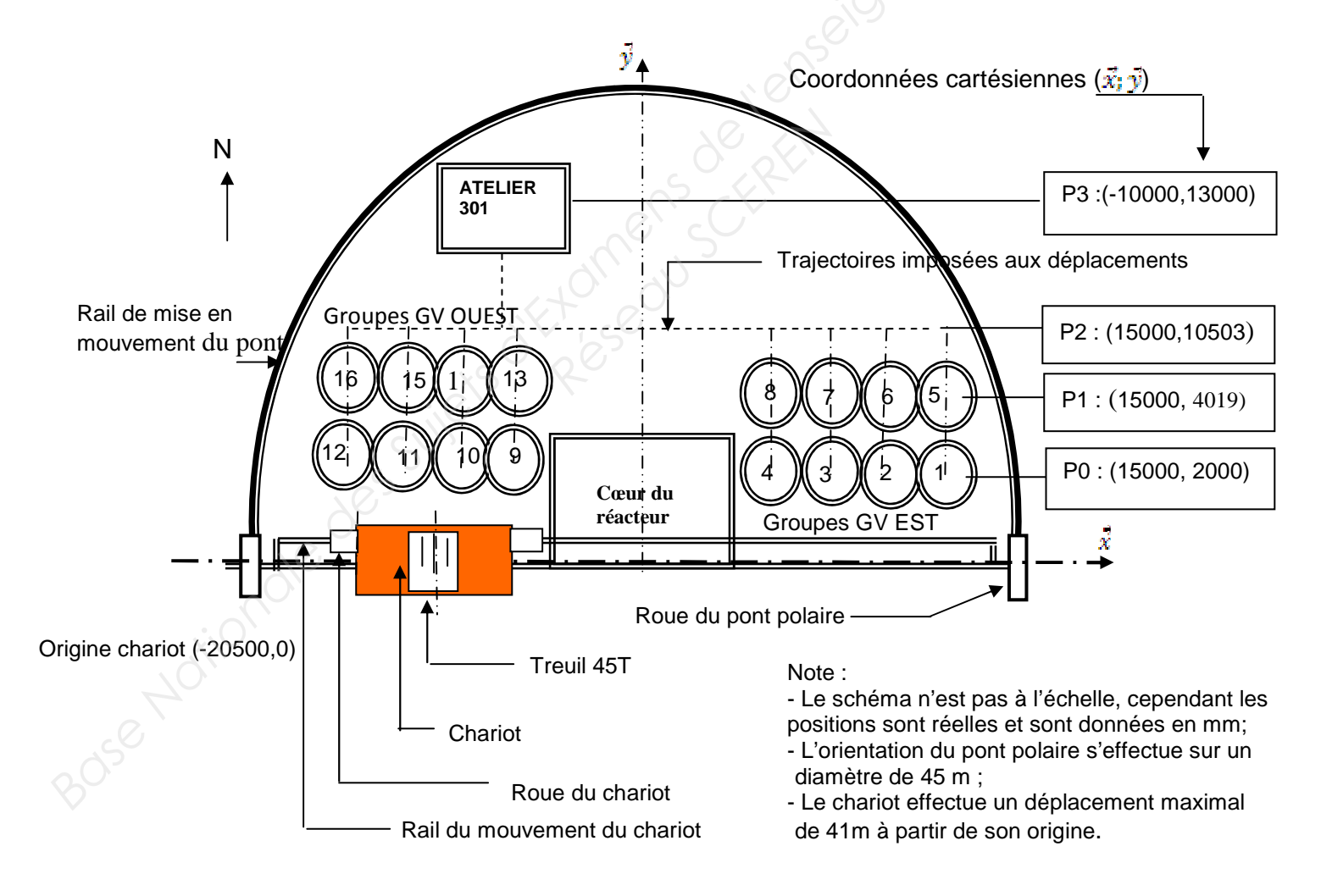
DOSSIER TECHNIQUE DT7: EXTRAIT DU CAHIER DES CHARGES

- Le pupitre de commande actuel sera maintenu pour assurer les commandes manuelles, cependant une logique programmée à partir d'un automate programmable industriel (API) remplacera la logique câblée initiale;
- Une unité de dialogue sera prévue pour assurer la conduite automatique du pont polaire en automatique;

Caractéristiques souhaitées :

- Ecran tactile 5,7"
- Ecran couleur
- Communication série et Ethernet
- Les déplacements des GV vers l'atelier 301 seront en mode automatique;
- Une alarme sonore sera prévue sur le dispositif de levage pour informer l'opérateur d'une surcharge accrochage des GV;
- Les trajectoires du chariot doivent respecter un parcours sécurisé définie sur la figure 1 ci-dessous ;
- Des capteurs de position numérique auront une précision de ±10 mm pour le déplacement linéaire du chariot et une précision de ±2° pour le déplacement angulaire du pont polaire;

Figure 1: Trajectoires imposées aux déplacements des GV



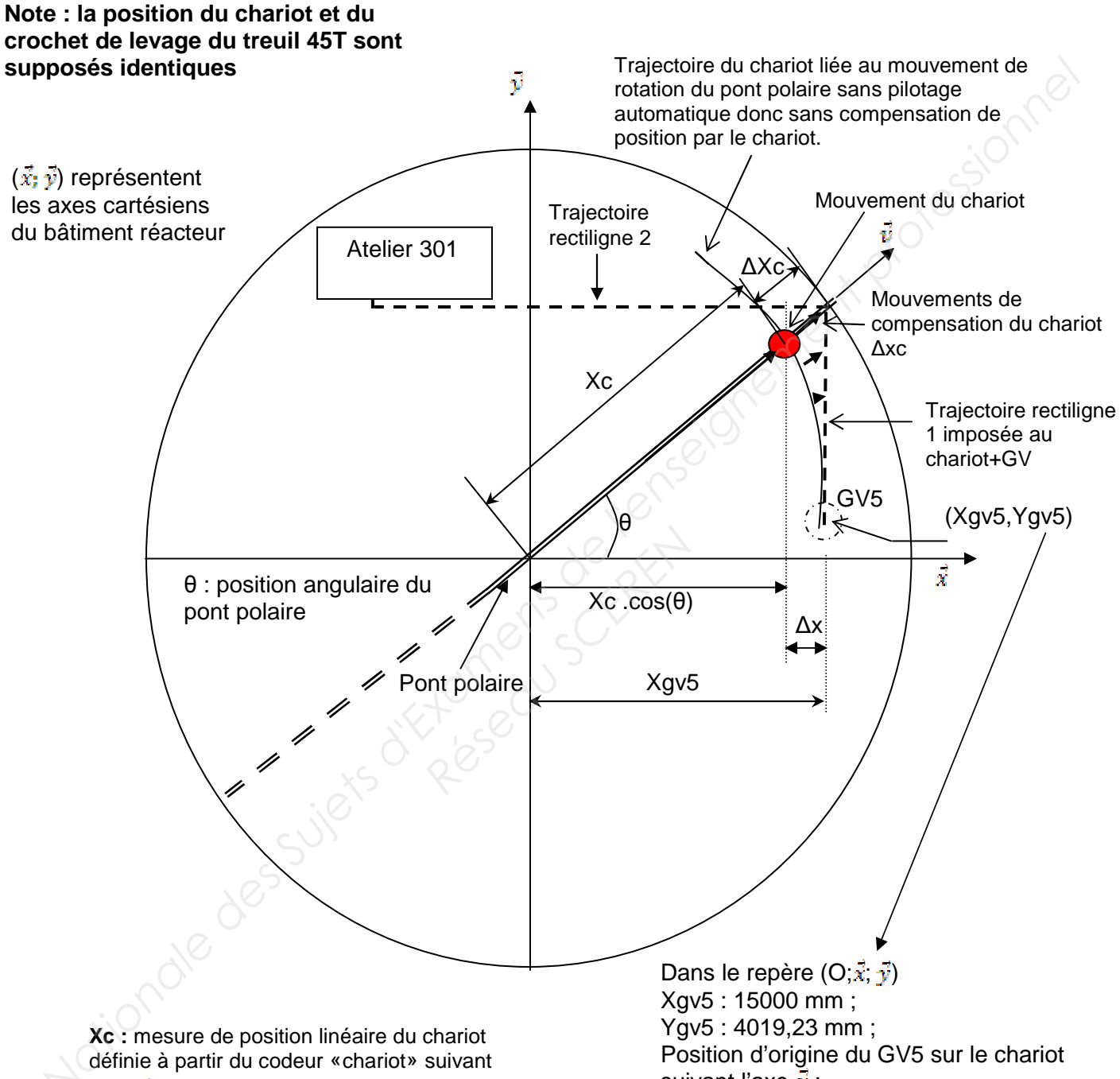
| BTS ENVIRONNEMENT NUCLEAIRE | | Session 2013 |
|---|---------|--------------|
| U42 MODELISATION ET CHOIX TECHNIQUES EN ENVIRONNEMENT NUCLEAIRE | ENE4JCT | Page 16 / 25 |

DOSSIER TECHNIQUE DT8 : TABLEAU DES ENTREES-SORTIES UTILISEES

| Repères sur | Mnémoniques utilisés en | Désignation des entrées - sorties |
|---------------------|-------------------------|--|
| le pupitre | programmation | |
| 105 LA | Voy_th | Voyant de défauts thermiques des moteurs du pont |
| 109 LA | КІ | Alarme sonore : Klaxon surcharge du système de levage |
| 601 LA | Voy_A301 | Voyant pont en position atelier 301 |
| 110TO | Bp_AU | Bouton poussoir (NF) arrêt d'urgence |
| 111TO | CM_auto | Interrupteur marche automatique du pont roulant |
| 112TO | Bp_dcy | Bouton poussoir départ cycle du pont roulant |
| 113TO | Bp_ar | Bouton poussoir (NF) arrêt du pont roulant |
| 114TO | Bp_klaxon | Bouton poussoir commande manuelle du klaxon |
| 115TO | Bp_mt45T | Bouton poussoir montée du treuil 45T |
| 116TO | Bp_d45T | Bouton poussoir descente du treuil 45T |
| 117TO | Voy_MT45T | Voyant montée du treuil de 45T |
| 118TO | Voy_DT45T | Voyant descente du treuil de 45T |
| 119TO | Voy_MPVGV | Voyant mouvements "PV et GV du pont roulant |
| 120TO | Bp_AVCH | Bouton poussoir mouvement avance du chariot |
| 121TO | Bp_ARCH | Bouton poussoir mouvement arrière du chariot |
| 122TO | Bp_RDP | Bouton poussoir rotation gauche du pont roulant |
| 123TO | Bp RGP | Bouton poussoir rotation droite du pont roulant |
| 124TO | Bp_acq | Bouton poussoir acquittement de défaut |
| 204TO | Bp_EZT | Bouton poussoir éclairage de la zone de travail |
| | FCH45T | Fin de course haut treuil 45T |
| | FCB45T | Fin de course BAS treuil 45T |
| | FCAC | Fin de course avant chariot |
| | FCARC | Fin de course arrière chariot |
| | Défaut_th | Contact de défaut thermique |
| | KMT45TM | Contacteur montée treuil 45T |
| | KMT45TD | Contacteur descente treuil 45T |
| 0 | KMCA | Contacteur avance chariot |
| 16 | KMCR | Contacteur arrière chariot |
| | KMPRG | Contacteur rotation gauche pont |
| ::(O) | KMPRD | Contacteur rotation droite pont |
| Réserve bouton 1 | | Bouton mis en réserve |
| Réserve bouton 2 | | Bouton mis en réserve |
| | WT45T | Mémoire de travail numérique mesurant la masse soulevée par le treuil 45T32768<= WT45T<=+32767 |

| BTS ENVIRONNEMENT NUCLEAIRE | | Session 2013 |
|---|---------|--------------|
| U42 MODELISATION ET CHOIX TECHNIQUES EN ENVIRONNEMENT NUCLEAIRE | ENE4JCT | Page 17 / 25 |

DOSSIER TECHNIQUE DT9: METHODE DE CALCUL DE LA CONSIGNE **DE POSITION Wc**



l'axe 🕏

WC: consigne de position du chariot définie à partir des coordonnées polaires du pont

Méthode de calcul de la consigne du chariot Wc:

 $\Delta x = Xgv5 - Xc.cos(\theta)$ $\Delta xc = \Delta x/\cos(\theta)$ $Wc = Xc + \Delta xc$

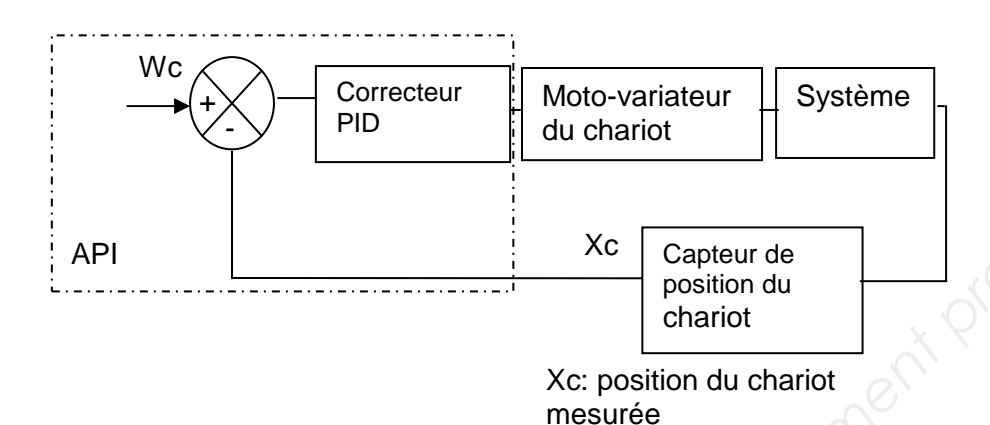
suivant l'axe 1 : Xc gv5 = 15529.14 mm;

 $\theta = 15^{\circ}$.

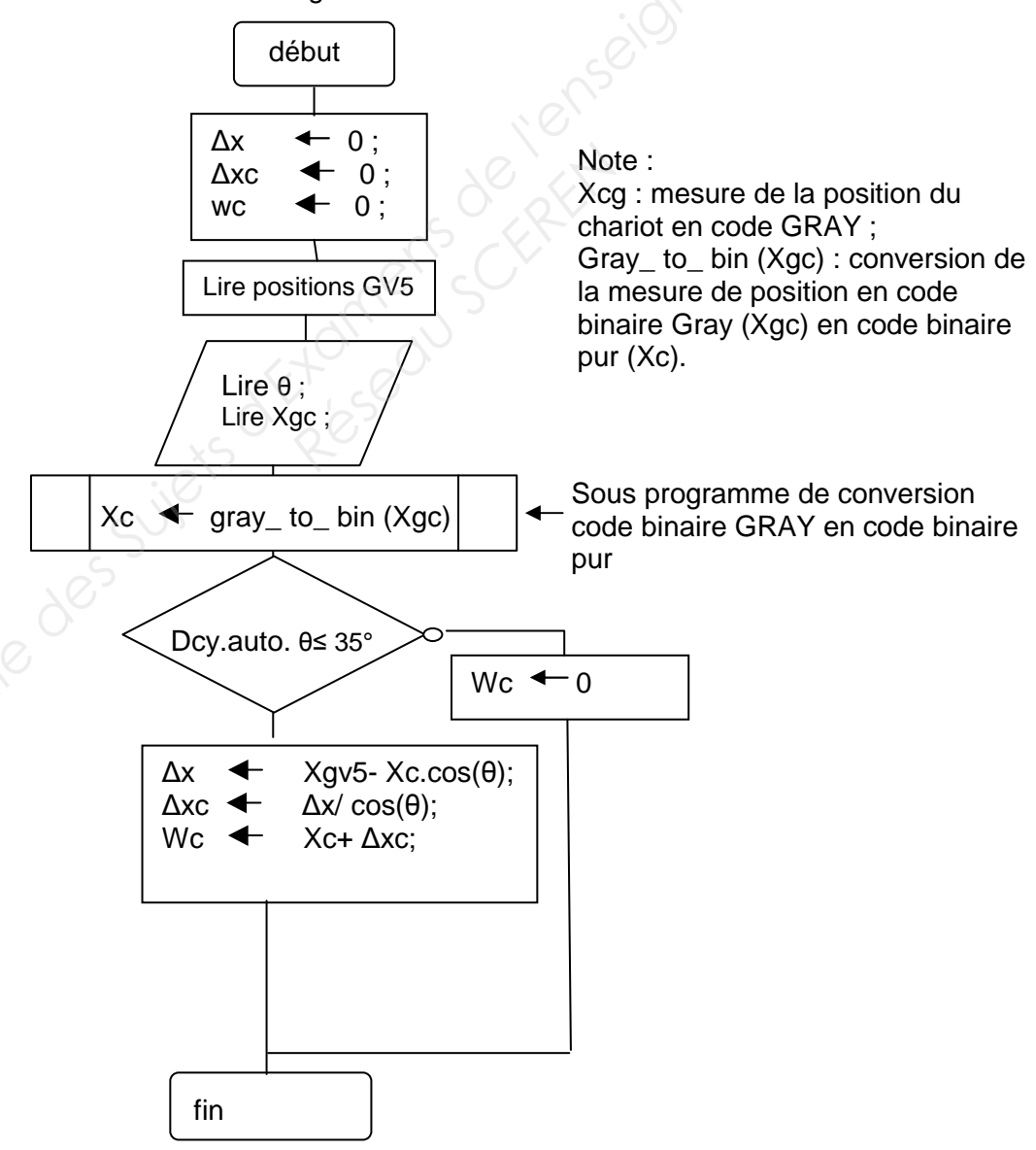
| BTS ENVIRONNEMENT NUCLEAIRE | | Session 2013 |
|---|---------|--------------|
| U42 MODELISATION ET CHOIX TECHNIQUES EN ENVIRONNEMENT NUCLEAIRE | ENE4JCT | Page 18 / 25 |

DOSSIER TECHNIQUE DT10 : METHODE UTILISEE POUR REALISER LA TRAJECTOIRE 1 DU GV5 A PARTIR DE LA COMMANDE DU CHARIOT

Schéma bloc permettant de réaliser la trajectoire 1 à partir de la consigne Wc



Organigramme d'élaboration de la consigne Wc du chariot

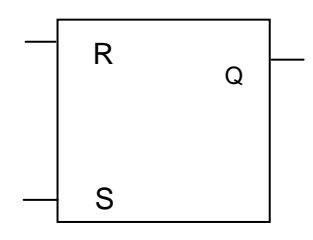


| BTS ENVIRONNEMENT NUCLEAIRE | | Session 2013 |
|--|---------|--------------|
| U42 MODELISATION ET CHOIX TECHNIQUES EN ENVIRONNEMENT NUCLEAIRE | ENE4JCT | Page 19 / 25 |

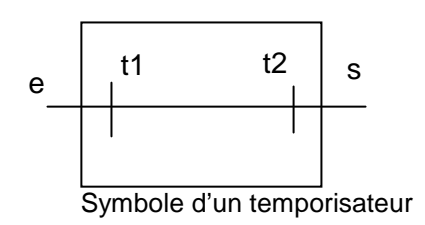
DOSSIER TECHNIQUE DT11: FONCTIONS LOGIQUES

Mémoire bistable RS

| R | S | Qt | | | |
|---|---|------------------|--|--|--|
| 0 | 0 | Q _{t-1} | | | |
| 0 | 1 | 1 | | | |
| 1 | 0 | 0 | | | |
| 1 | 1 | Indéterminé | | | |



Temporisateur



E : Signal d'entrée logique ;

S: information de sortie logique;

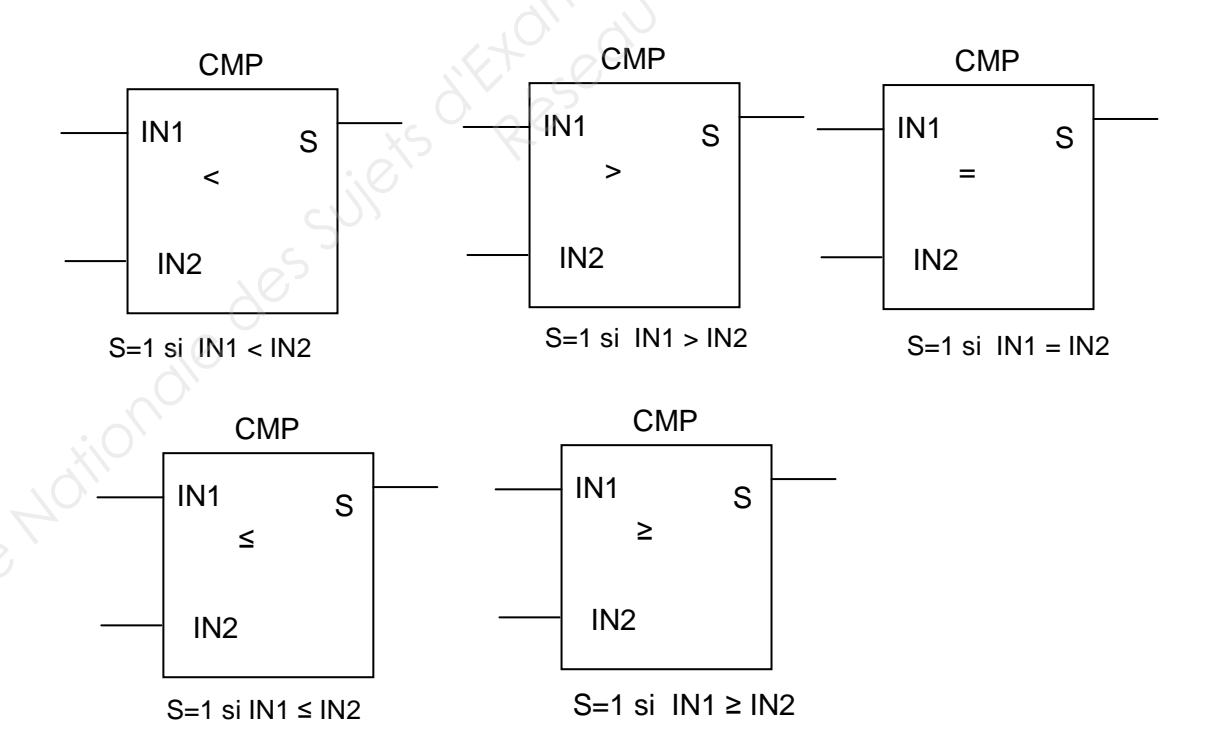
t1 : temps de retard par rapport au passage à l'état logique 1 de l'entrée e ;

t2 : temps de retard par rapport au passage à l'état logique 0 de l'entrée e.

Comparateur numérique

Les entrées IN1 et IN2 sont du type numérique au format 16 bits et sont définies en valeurs décimales.

Les sorties S sont du type logique



| BTS ENVIRONNEMENT NUCLEAIRE | | Session 2013 |
|---|---------|--------------|
| U42 MODELISATION ET CHOIX TECHNIQUES EN ENVIRONNEMENT NUCLEAIRE | ENE4JCT | Page 20 / 25 |

DOSSIER TECHNIQUE DT12: MODULE D'ENTREES- SORTIES M340

Automates programmables Industriels Automates Modicon M340

Plate-forme d'automatisme Modicon M340

Modules d'entrées/sorties





BMXDDI16 BMXDDI32

Modules d'entrées "Tout ou Rien" ▶43443◀

| nature/tension | modularité (nombre de voies) | raccordement | référence |
|----------------|---------------------------------|---------------------------------|-------------|
| 200 240 V | 8 voies isolées | bornier débrochable 20 contacts | BMXDAI0805@ |
| 24 V | 16 voies isolées | à vis à cage, à vis étriers ou | BMXDDI1602 |
| 48 V | 11 1 | à ressort | BMXDDI1603 |
| ou ∼ 24 V | | BMXFTB2000/2010/2020 | BMXDAI1602 |
| ∼ 48 V | | | BMXDAI1603 |
| ∼ 100120 V | | | BMXDAI1604 |
| 24 V | 32 voies isolées | 1 connecteur 40 contacts | BMXDDI3202K |
| | 64 voice jections | 2 connectours 40 contacts | BMADDIE405K |





Modules de sorties ▶43443◀

| nature/tension | courant | modularité (nombre de voies) | raccordement | référence |
|-------------------------|-------------------|---------------------------------|--|-------------|
| statiques 24 V | 0,5 A par vote | 16 voies protégées | bornier débrochable | BMXDDO1602 |
| | | | 20 contacts à vis à cage, | BMXDD01612 |
| \sim triacs 100 240 V | 0,6 A par voie | 16 voles non protégées | à vis étriers ou à ressort BMXFTB2000/2010/2020 | BMXDAO1605 |
| relais 24 V, | 3 A(Ith) par voie | 8 voies non protégées | | BMXDRA0805 |
| ~ 24 240 V | 2 A(Ith) par voie | 16 voies non protégées | | BMXDRA1605 |
| statiques 24 V | 0,1 A par voie | 32 voies protégées | 1 connecteur 40 contacts | BMXDD03202K |
| | | 64 voies protégées | 2 connecteurs 40 contacts | BMXDDO6402K |





| nature/tension | modularité (nombre de voies) | raccordement | référence |
|--|---|--|-------------|
| entrées/sorties 24 V | 8 entrées isolées et 8 sorties isolées | bornier débrochable 20 contacts à vis à cage, | BMXDDM16022 |
| — et (S uniquement) entrées 24 V, sorties relais | 8 entrées isolées et 8 sorties isolées | à vis étriers ou à ressort BMXFTB2000/2010/2020 | BMXDDM16025 |
| entrées/sorties 24 V | 16 entrées isolées et 16 sorties isolées | 1 connecteur 40 contacts | BMXDDM3202K |





Entrées et sorties analogiques >43444

| nature | gamme | | modularité | raccordement | référence | |
|---------------|--|----------------------------|---|--|------------|--|
| | tension | courant | (nbre de voies) | direct sur module | | |
| entrées bas | niveau isolées tension | résistances, thermoco | uples et thermos | ondes | | |
| nultigamme | ± 40 mV, ± 80 mV, ± 160 mV, ± 320 mV, | 24 | 4 voies | 1 connecteur 40 contacts | BMXART0414 | |
| | ± 640 mV, ± 1,28 V | | 8 voies | 2 connecteurs 40 contacts | BMXART0814 | |
| entrées haut | niveau isolées | | | | | |
| , | ± 10 V, 010 V, 05 V, 15 V, ±5 V | 020 mA, 420 mA, ± 20 mA | 4 voies | bornier débrochable 20 contacts (à vis ou à ressort) | BMXAMI0410 | |
| | | | 8 voies | bornier débrochable 28 contacts (à ressort) | BMXAMI0810 | |
| sorties haut | niveau isolées | | | 0 | | |
| | ± 10 V | 020 mA, 420 mA | 2 voies | bornier débrochable 20 contacts | BMXAMO0210 | |
| | | | (V) | (à vis ou à ressort) | | |
| | | | 4 voies | bornier débrochable 20 contacts (à vis ou à ressort) | BMXAMO0410 | |
| entrées/sorti | ies haut niveau non isc | olées | - 1 - 1 - 1 - 1 - 1 - 1 - 1 - 1 - 1 - 1 | | | |
| | ± 10 V, 010 V, 05 V, 15 V, ± 5 V | 020 mA, 420 mA, ± 20 mA | 4 voles (E) 2 voles (S) | bornier débrochable 20 contacts (à vis ou à ressort) | BMXAMM0600 | |
| entrées haut | niveau non isolées | | | 10 | | |
| | ± 10 V, 010 V, 05 V, 15 V, ± 5 V | 020 mA, 420 mA, ± 20 mA | 8 voies | bornier débrochable 20 contacts (à ressort) | BMXAMI0800 | |
| sorties haut | niveau non isolées | | | | | |
| | ± 10 V | 020 mA, 420 mA | 8 voies | bornier débrochable 20 contacts (à vis ou à ressort) | BMXAMO0802 | |

Raccordement possible avec l'offre de borniers déportés Telefast.

| BTS ENVIRONNEMENT NUCLEAIRE | | Session 2013 |
|---|---------|--------------|
| U42 MODELISATION ET CHOIX TECHNIQUES EN ENVIRONNEMENT NUCLEAIRE | ENE4JCT | Page 21 / 25 |

DOSSIER TECHNIQUE DT13: UNITE DE DIALOGUE XBTGT



A écran tactile 5,7" ▶36346◀

| type | | XBTGT | | | | | | | |
|---|------------------------------|--|--|--|--------------------|---|---|---|--|
| | | 7700 | Kto | | | | | | |
| affichage | taille écran / résolution | 5,7" / QVGA | 20 | | 50 | | | 5,7°/VGA | |
| | type | tactile, STN mo | nochrome | | tactile STN could | eur tactile TFT coule | our | 60 | |
| | g.**t.**15 | bleu (16 niveau rétro-éclairé | x) noir et blanc rétro-éclairé | | 4096 couleurs | 65536 couleurs | 65536 couleurs rétro-éclairage ultra puissant @ | 65536 couleurs @ | |
| fonctions représentation des variables | | alphanumériqu | e, bitmap, bargraph | e, images, vumètr | e, bouton, voyant, | horloge, gyrophare, | clavier, commutate | our, | |
| | courbes | oui, avec historique | | | | | | | |
| | alarmes | oul, avec historique | | | | | | | |
| | recettes | oui | | | | | | | |
| communication | liaison série | 1 Sub-D9 (RS232/RS422 - RS485) + 1 RJ45 (RS485) | | | | | | | |
| | réseaux | | - | Ethernet, IEEE 802.3 10/100 Base-1 RJ45 | ; | Ethernet, IEEE 802.3 10/100 Base-T, RJ45 | Ethernet, 10/100 Base-T, RJ45 | Ethernet, IEEE 802.3 10/100 Base-T, BJ45 | |
| protocoles téléc | chargeables | | sec), Omron (Sysm | ac), Rockwell Auto | omation (Allen Bra | dley), Siemens (Sim | natic), | 1997,952 | |
| logiciels de con | ception | Vijeo Designer | Vijeo Designer VJD•••TG•V••M (sous Windows XP, Windows Vista et Windows 7) | | | | | | |
| compatibilité av | ec automates | Twido, Modicon TSX Micro, Modicon Premium, Modicon Quantum, Modicon M340, Modicon Momentum | | | | | | | |
| emplacement o | | non | oul | | | | | | |
| unité d'extension | n | oui | | | | | | | |
| port USB Host | type A | 1 | | | | | | | |
| entrée vidéo | | non | 64. | .00 | 8 | 573 | .17) | w. | |
| entrée embarqu | iée TCP/IP | non | non | oui | non | oui | oui | oui | |
| tension d'alime | ntation | 24 V CC | d: | -33 | 10 | 957 | -202 | - 200 | |
| références | | XBTGT2110 | XBTGT2120 | XBTGT2130 | XBTGT2220 | XBTGT2330 | XBTGT2930@ | XBTGT24300 | |

| BTS ENVIRONNEMENT NUCLEAIRE | Session 2013 | |
|---|--------------|--------------|
| U42 MODELISATION ET CHOIX TECHNIQUES EN ENVIRONNEMENT NUCLEAIRE | ENE4JCT | Page 22 / 25 |

DOSSIER TECHNIQUE DT14: CODEURS

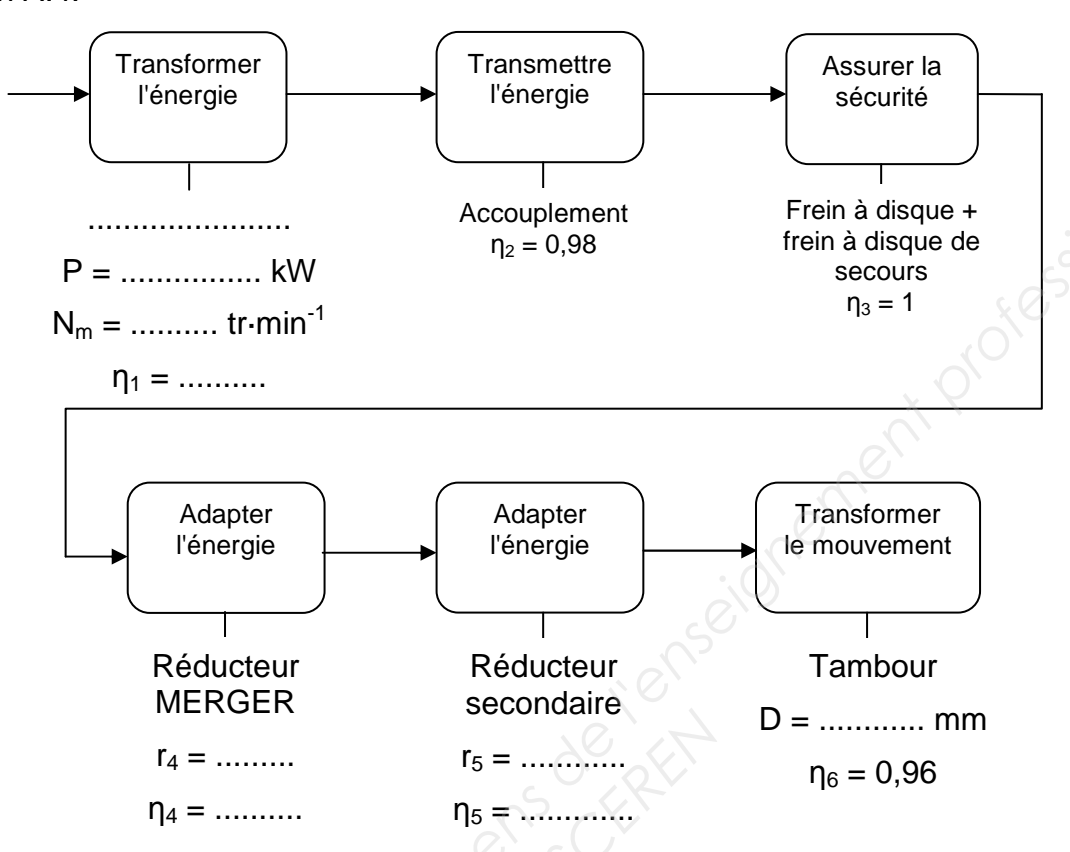
| | | | Codeurs absolus monotour absolus multitour | | nultitours | absolus multitours communicants | | |
|---|------------------------|-----------|--|----------------|-------------------|------------------------------------|-----------------|---------------------|
| | | | 10 | | III. | Tie | | |
| ø du boîtier (mm) | | | o 58 | ø 90 | ø 58 | ø 90 | ø 58 CANopen | ø 58 Profibus-DP |
| ø de l'axe (mm) | | | ø 6 | ø 12 | ø 10 | ø 12 | o 10 | ø 10 |
| type d'axe (2) | | axe plein | axe plein | axe plein | axe plein | axe plein (4) | axe plein (4) | |
| vitesse de rotation maxi (tours/minute) | | 9000 | 6000 | 6000 | 6000 | 6000 | 6000 | |
| fréquence ma | ximale (kHz) | | 100 | 100 (1000 SSI) | 100 (500 SSI) | 100 (500 SSI) | 800 | 800 |
| charge maxim | nale (daN) | | 10 | 20 | 10 | 20 | 11 | 11 |
| couple (N.cm) |) | | 0,4 | 1 | 0,4 | 1 | 0,3 | 0,3 |
| | mpérature (° C) | | - 20+ 90 | - 20+ 85 | - 20+ 85 | - 20+ 85 | - 40+ 85 | - 40+ 85 |
| degré de prot | ection (selon IEC | 60529) | IP 65 | IP 66 | IP 65/IP 67 (3) | IP 66 | IP 64 | IP 64 |
| tension d'alimentation | ľ | | 1130 V | | | | 0001180-1 | Y. 1.40 |
| raccordement | | | connecteur radial M2 | 3 måle | 2 x M12 + 1 x PG9 | 3 x PG9 | | |
| détecteurs | | | | C | | c S | | |
| résolution | étage de sortie | code | | | | | | |
| 8192 points | push-pull | binaire | XCC2506PS81KB | XCC2912PS81KBN | | 4 0 | 8 | E |
| 68: | 33 | gray | XCC2506PS81KGN | XCC2912PS81KGN | - O | ÷0 | * | į. |
| | SSI, 13 bits | binaire | XCC2506PS81SBN | XCC2912PS81SBN | - / L V | ¥. 3 | - | e e |
| | | gray | XCC2506PS81SGN | XCC2912PS81SGN | | | | |
| 4096 points/ 8192 tours | SSI, 25 bits (5) | gray | 2 | | XCC3510PS48SGN | - | 2: | |
| 8192 points/ | SSI, 25 bits (5) | binaire | * | - 1 | XCC3510PS84SBN | XCC3912PS84SBN | × | - |
| 4096 tours | 18 | gray | | - 41 | | XCC3912PS84SGN | - | |
| 8192 points/ 4096 tours | CANopen 25 bits | binaire | | 400 | | | XCC3510PS84CBN | 1- |
| | Profibus-DP 25 bits | binaire | | 125 | -1 | | 2 | XCC3510PV84FBN |
| ▶écran∢ | | | ▶31167◀ | | | ▶30520◀ | | |

| BTS ENVIRONNEMENT NUCLEAIRE | | Session 2013 |
|---|---------|--------------|
| U42 MODELISATION ET CHOIX TECHNIQUES EN ENVIRONNEMENT NUCLEAIRE | ENE4JCT | Page 23 / 25 |

⁽²⁾ Toutes les versions existent également avec axe traversant et dispositif anti-rotation.
(3) IP 67 avec bride XCCRB3.
(4) Versions disponibles avec axes creux et dispositif anti-rotation.
(5) Il est possible d'obtenir des sorfies "parallèle" sur les codeurs absolus multitours avec les rallonges de désérialisation XCCRM23UB37.

DOCUMENT RÉPONSE DR1

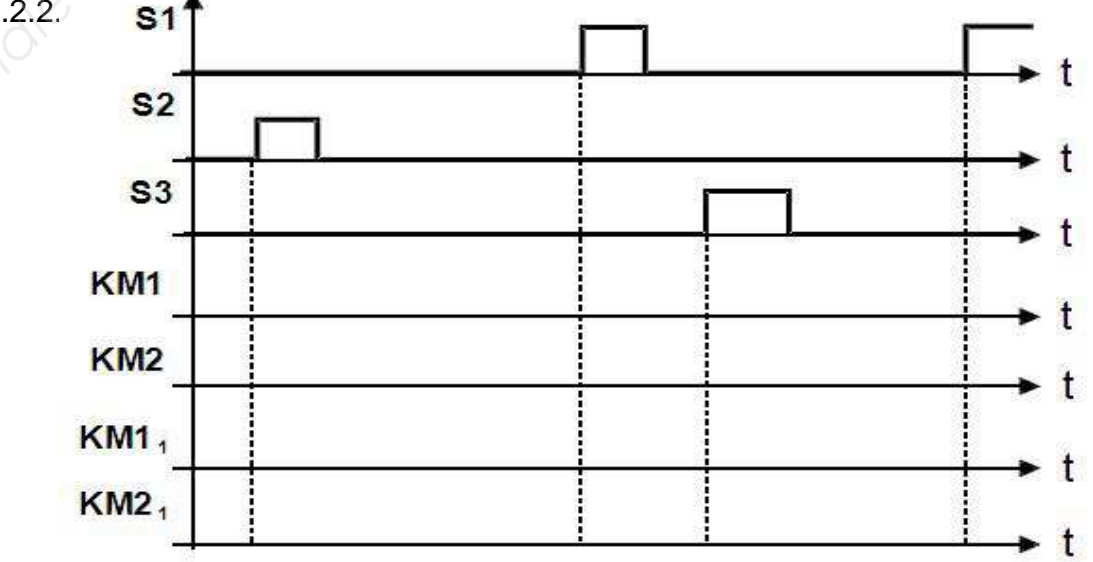
Question A.4.



Question B.2.1.

| NATURE DES PERTURBATIONS | CAUSES | EFFETS | MOYEN DE PROTECTION | REFERENCE SCHEMA |
|-----------------------------|--|--------|------------------------|---------------------|
| Surcharge | Surabondance momentanée d'appareils d'utilisation. Sur une période donnée, l'énergie dépasse les possibilités du circuit. | | | |
| Court-circuit | Liaison accidentelle entre deux points d'un circuit se trouvant normalement à des potentiels différents. | | | |

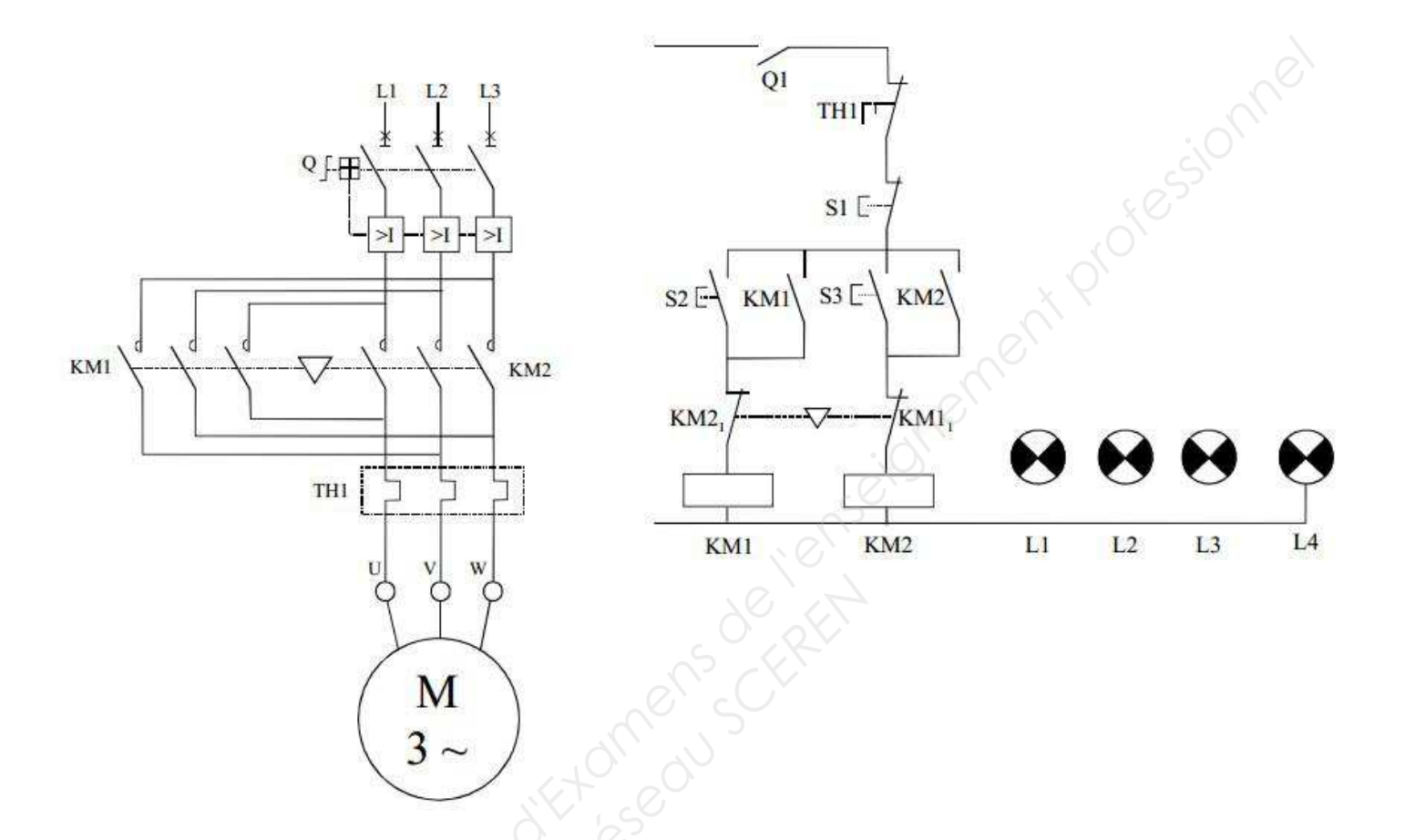
Question B.2.2.



| BTS ENVIRONNEMENT NUCLEAIRE | | Session 2013 |
|---|---------|--------------|
| U42 MODELISATION ET CHOIX TECHNIQUES EN ENVIRONNEMENT NUCLEAIRE | ENE4JCT | Page 24 / 25 |

DOCUMENT RÉPONSE DR2

Question B.2.3.



Question C.7.1.

| Position angulaire θ du pont polaire | ΔX (mm) | ΔXc (mm) | Wc (mm) | Wc.cosθ (mm) |
|--------------------------------------|---------|----------|----------|-----------------|
| 15° | 0 | 0 | 15529,14 | 15000 |
| 20° | | | | |
| 25° | | | | |
| 30° | | | | |
| 35° | 2279,27 | 2782,47 | 18311,6 | 15000 |

| BTS ENVIRONNEMENT NUCLEAIRE | Session 2013 | |
|--|--------------|--------------|
| U42 MODELISATION ET CHOIX TECHNIQUES EN ENVIRONNEMENT NUCLEAIRE | ENE4JCT | Page 25 / 25 |